

























船外機付き高速滑走艇の推進性能評価法の構築 片山 徹, 西原 祥貴, 佐藤 卓弥 公開日: 2012年09月07日	p.1-9	 抄録	 本文PDF[978K]
非線形な復原力曲線を持つ船舶の向波中横揺れ特性に関する基礎的研究 片山 徹, 宮本 修吾, 橋本 博公, 田井 祥史 公開日: 2012年09月07日	p.11-20	 抄録	 本文PDF[632K]
On the Evaluation Method of Ship Performance for Blunt Ships -Extension of 10 mode Index for Ships- Masaru Tsujimoto, Noriyuki Sasaki, Ken Takagi 公開日: 2012年09月07日	p.21-27	 抄録	 本文PDF[457K]
Onboard Measurement for a Container Ship in view of Container Load Condition Mariko Kuroda, Masaru Tsujimoto, Naoto Sogihara 公開日: 2012年09月07日	p.29-35	 抄録	 本文PDF[483K]
Decrease of Ship Speed in Actual Seas of a Bulk Carrier in Full Load and Ballast Conditions -Model Test and Onboard Measurement- Yasuo Ichinose, Masaru Tsujimoto, Koichiro Shiraiishi, Naoto Sogihara 公開日: 2012年09月07日	p.37-45	 抄録	 本文PDF[545K]
熱水鉱床開発用プラットフォームの位置保持性能評価 湯川 和浩, 南 佳成, 佐藤 宏, 大坪 和久, 谷口 友基 公開日: 2012年09月07日	p.47-57	 抄録	 本文PDF[1897K]
水面衝撃に関する境界要素解析法 木原 一 公開日: 2012年09月07日	p.55-65	 抄録	 本文PDF[1250K]
船首正面衝撃に関する数値シミュレーション 木原 一, 末吉 誠 公開日: 2012年09月07日	p.67-77	 抄録	 本文PDF[1494K]

Numerical Investigation of Flow Field Around a Ship in Manoeuvring Motion	p.79-89
Osman Md. Amin, Kazuhiko Hasegawa 公開日: 2012年09月07日	 
正面向波中における曳船・被曳船の船体運動シミュレーション	p.91-100
中山 喜之, 安川 宏紀, 平田 法隆 公開日: 2012年09月07日	 
左右非対称なデミハルを有する双胴船の性能に関する実験的研究	p.101-110
安川 宏紀, 平田 法隆, 池添 修自, 平田 裕一 公開日: 2012年09月07日	 
溶融亜鉛めっき釜破損部の亀裂進展方向に関する一考察	p.111-116
三崎 弘司, 平島 禎, 功刀 厚志, 石井 亮, 谷野 忠和, 矢島 浩 公開日: 2012年09月07日	 
溶融亜鉛めっき釜破損起点部材質調査結果に関する一考察	p.117-123
三崎 弘司, 金井 英一, 白倉 篤志, 楠 和憲, 谷野 忠和, 矢島 浩 公開日: 2012年09月07日	 
疲労き裂伝播の減速現象を評価するためのシミュレーション法	p.125-133
勝田 順一, 楠葉 貞治, 菅田 登, 久保 諭, 山口 正弘, 和田 眞禎 公開日: 2012年09月07日	 
斜角探傷試験における欠陥同定のための音源重ね合せ超音波伝播シミュレーションについて	p.135-143
平澤 英幸, 柴田 大貴, 前田 正広, 吉川 孝男 公開日: 2012年09月07日	 
船体構造設計のための船倉内変動圧推定法に関する研究 —第1報: 矩形断面タンク—	p.145-155
深沢 塔一, 中村 哲也, 柴崎 公太, 島崎 克教 公開日: 2012年09月07日	 
閉鎖性水域における汚染源特定のためのリバースシミュレーション	p.157-166
北澤 大輔, 安部 諭, 半場 藤弘, 加藤 信介 公開日: 2012年09月07日	 
海底熱水鉱床開発の社会受容性に関する研究	p.167-174

笠島 優希, 多部田 茂  
公開日: 2012年09月07日



本文PDF[1170K]

Effects of Cross Section and Flexibility of Pectoral Fins on the Swimming Performance of Biomimetic Underwater Vehicles

p.175-189

Xiaoqian Sun, Naomi Kato, Hao Li  
公開日: 2012年09月07日



本文PDF[849K]

付加物が渦励振に与える影響の実験

p.191-197

千賀 英敬, 山本 祐樹  
公開日: 2012年09月07日



本文PDF[1272K]

液体バッグ積載コンテナの壁面に加わる荷重について

p.199-206

三田 重雄  
公開日: 2012年09月07日



本文PDF[812K]

NDMモデルに基づく船舶衝突モデルの開発

p.207-217

浅見 光史, 金湖 富士夫  
公開日: 2012年09月07日



本文PDF[662K]

エルボおよびベンドを考慮した配管設計アルゴリズム

p.219-226

安藤 悠人, 木村 元  
公開日: 2012年09月07日



本文PDF[768K]

Theoretical Methodology for Quantifying Probability of Capsizing for a Ship in Beam Wind and Waves and Its Numerical Validation

p.227-235

Eri Maeda, Takumi Kubo, Naoya Umeda  
公開日: 2012年09月07日



本文PDF[551K]